

# **Отказоустойчивая реализация параллельного решения двумерного уравнения теплопроводности**

**Марков Владислав Алексеевич**  
**магистрант 1 курса**

Научный руководитель —  
д.т.н. доцент Курносов М.Г.

# Архитектурные свойства высокопроизводительных вычислительных систем

- ❑ Современные высокопроизводительные вычислительные системы — являются **большемасштабными**
- ❑ Количество процессорных ядер в таких системах **порядка миллиона**
- ❑ В перспективных вычислительных системах ожидается **увеличение числа вычислительных узлов на несколько порядков**
- ❑ Среднее время наработки на отказ будет составлять **порядка 30 минут**
- ❑ Актуальной является разработка **программных средств, обеспечивающих отказоустойчивое выполнение параллельных программ**

№	Местонахождение	Система	Кол-во процессорных ядер
1	National Supercomputing Center in Wuxi China	<b>Sunway TaihuLight</b> - Sunway MPP, Sunway SW26010 260C 1.45GHz, Sunway NRCPC	<b>10,649,600</b>
2	National Super Computer Center in Guangzhou China	<b>Tianhe-2 (MilkyWay-2)</b> - TH-IVB-FEP Cluster, Intel Xeon E5-2692 12C 2.200GHz, TH Express-2, Intel Xeon Phi 31S1P NUDT	<b>3,120,000</b>
3	DOE/SC/Oak Ridge National Laboratory United States	<b>Titan - Cray XK7</b> - Opteron 6274 16C 2.200GHz, Cray Gemini interconnect, NVIDIA K20x Cray Inc.	<b>560,640</b>

<https://www.top500.org/>

# Методы восстановления выполнения параллельных программ

## Методы прямого восстановления (*forward recovery*) [1]

□ возвращают параллельную программу в безошибочное состояние на основании текущих данных, по результатам анализа отказа, без обращения к предыдущим состояниям параллельной программы

## Методы обратного восстановления (*backward recovery*) [2]

□ возвращают параллельную программу в безошибочное состояние из контрольной точки, основаны на использовании информации о полном или частичном состоянии параллельной программы

[1] Elnozahy E.N., Alvisi L., Wang Y., Johnson D.B. A Survey of Rollback-Recovery Protocols in Message-Passing Systems. ACM Computing Surveys. 2002. Vol.34, No. 3 P. 375–408.

[2] Koren I., Krishna C.M. Fault-Tolerant Systems. San Francisco, CA: Morgan Kaufmann Publishers Inc., 2007. 378 p.

# Методы, позволяющие сократить время записи контрольной точки

1. Методы, основанные на механизмах создания журналов передачи сообщений (*log-based rollback-recovery*), на стороне посылающего сохраняется содержание сообщения
2. Методы, основанные на сохранении изменений между двумя последовательными контрольными точками, инкрементный (*incremental checkpointing*) и дифференциальный (*differential checkpointing*) подходы [3]
3. Методы, предполагающие сохранение контрольной точки в память вычислительных узлов [4]

[3] Ferreira K.B., Riesen R., Bridges P.G., Arnold D., Brightwell R. Accelerating incremental checkpointing for extreme-scale computing. *Future Generation Computer Systems*. 2014. Vol. 30, No 1. P. 66–77

[4] Plank J.S., Li K., Puening M.A. Diskless Checkpointing. *IEEE Transactions on Parallel Distributed Systems*. 1998. Vol. 9, No 10. P. 972–986.

## **Восстановление выполнения параллельной программы на уровне пользователя (user-level checkpointing)**

- ❑ В работе подробно рассматривается формирование контрольной точки на уровне пользователя
- ❑ Использование такого подхода к формированию контрольной точки, позволяет контролировать время и частоту создания контрольной точки во время выполнения параллельной программы

# Параллельная программа решения двумерного уравнения теплопроводности

- ❑ Решение двумерного уравнения теплопроводности, реализовано методом *последовательных итераций Якоби*
- ❑ Метод распараллелен в стандарте MPI путем *двумерной декомпозиции расчетной области*
- ❑ Каждому процессу назначена *подматрица и теньевые ячейки* по всем четырем направлениям, для расчета значений на границах выделенной области
- ❑ Для обеспечения восстановления вычислительного процесса в программу добавлен функционал *формирования контрольных точек*

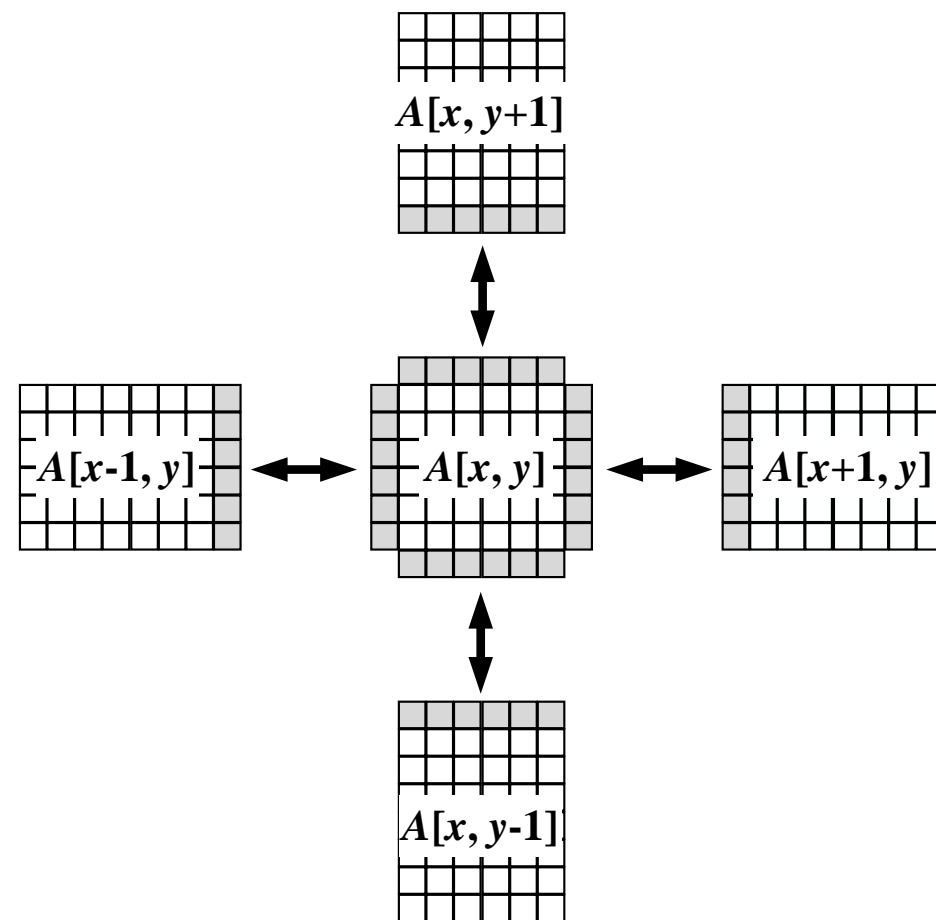


Схема обмена теньевыми ячейками подматрицы  $A[x, y]$

# Параллельная программа решения двумерного уравнения теплопроводности

```
while true do
  for 1 to ny
    for 1 to nx
      // Расчет значений внутренних точек
    end for
  end for

  for 1 to ny
    for 1 to nx
      maxdiff = fmax(maxdiff,...)
    end for
  end for

  if maxdiff < EPS then
    // Проверка условия на выход
    break
  end if

  // Обмен теньвыми ячейками с соседями
  // Создание контрольной точки
end while
```

Главный цикл вычисления значений в подматрице  $A[x, y]$   
и обмена теньвыми ячейками

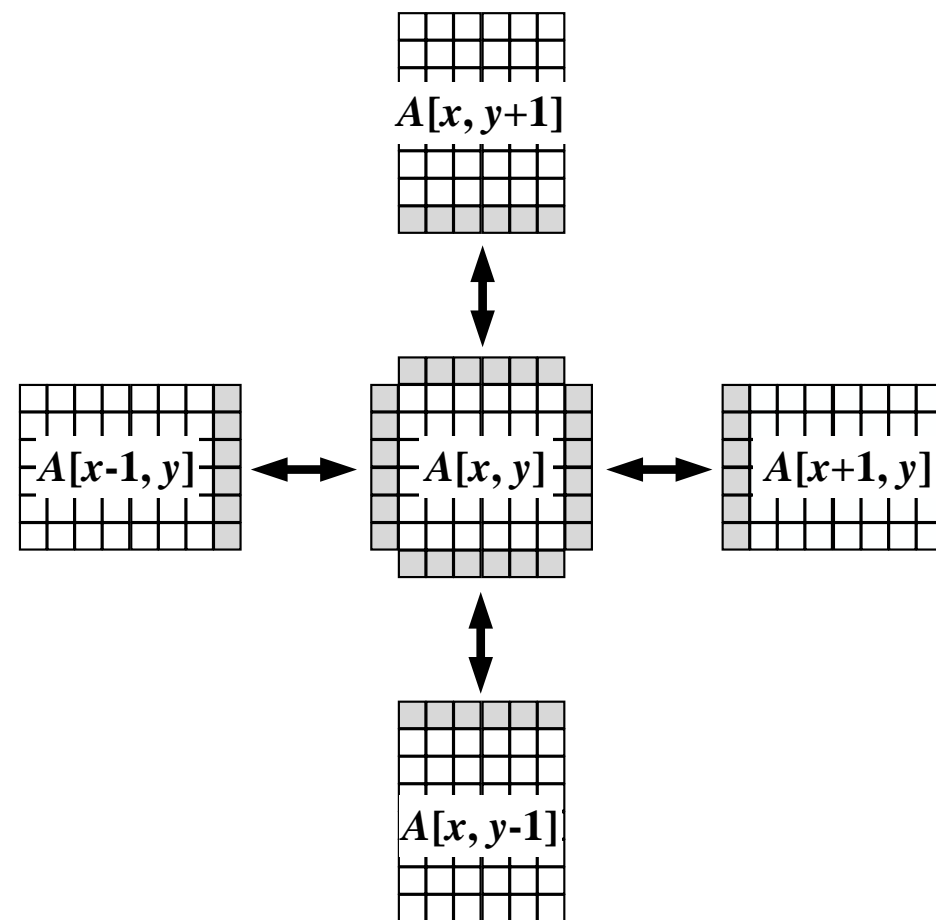


Схема обмена теньвыми ячейками подматрицы  $A[x, y]$

# Формирование контрольных точек

Формирование и создание контрольных точек (КТ) реализовано во внешней библиотеке.

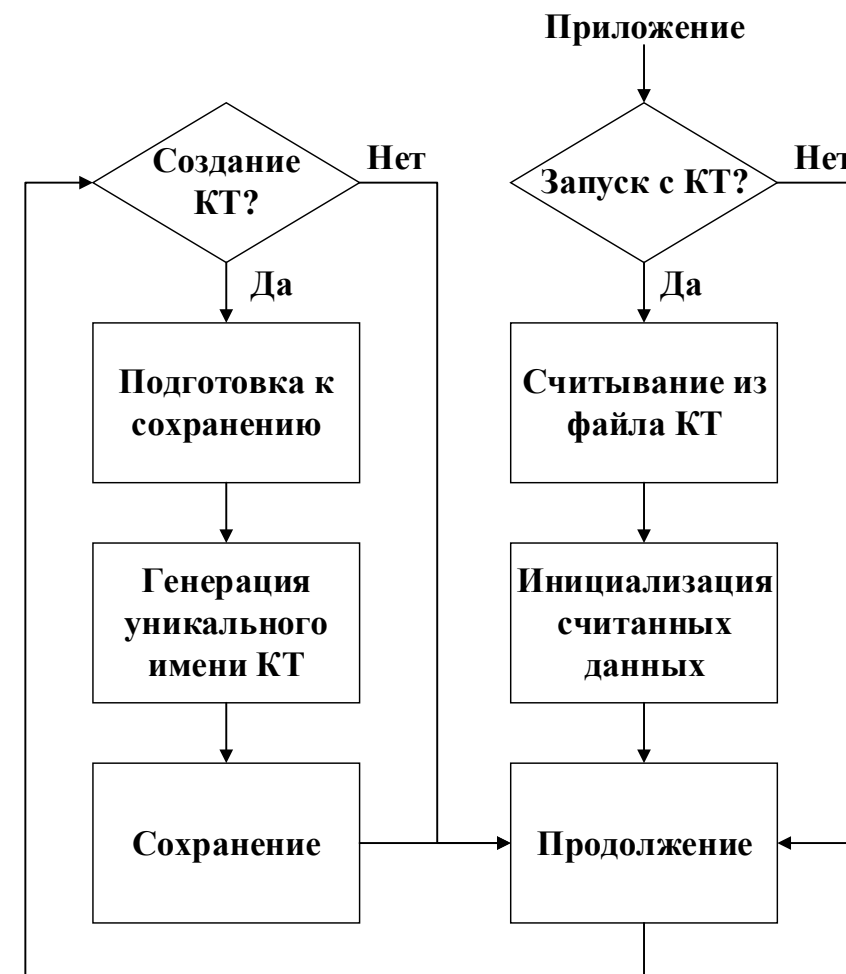
КТ формируется каждым MPI-процессом и содержит:

☐ Подматрицу MPI-процесса

☐ Метаданные КТ\*

- *время выполнения*
- *количество созданных КТ,*
- *время затраченное на создание КТ,*
- *признак целостности КТ*

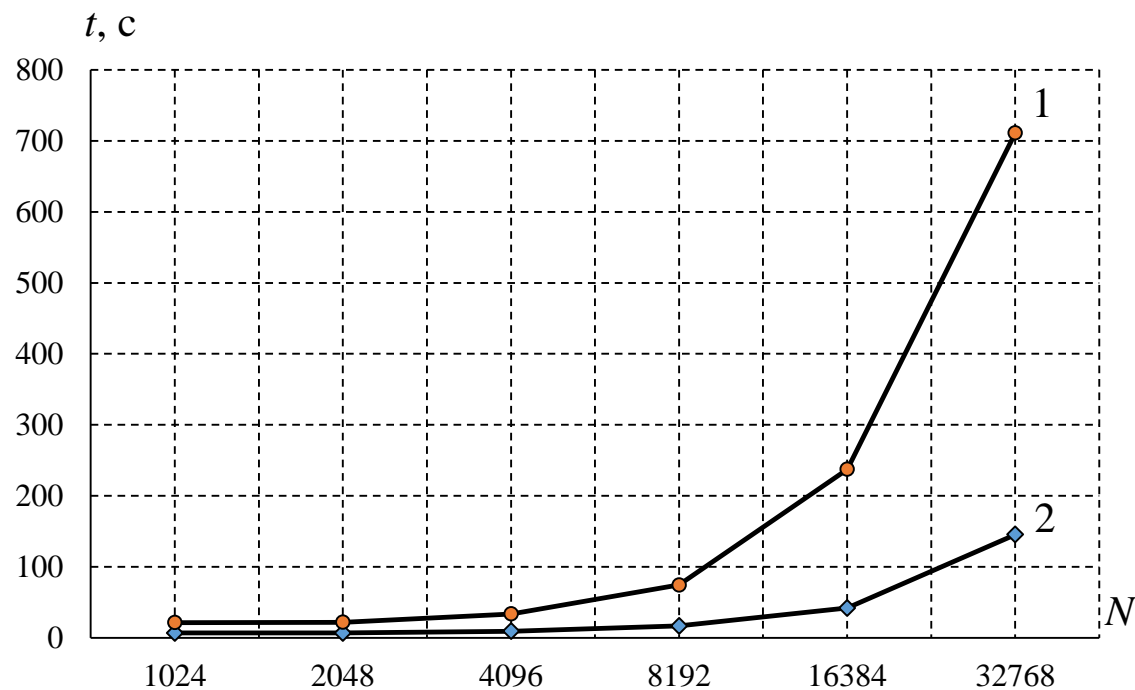
*\*формируется внешней библиотекой автоматически*



Алгоритм создания КТ и  
возобновления вычислительного процесса



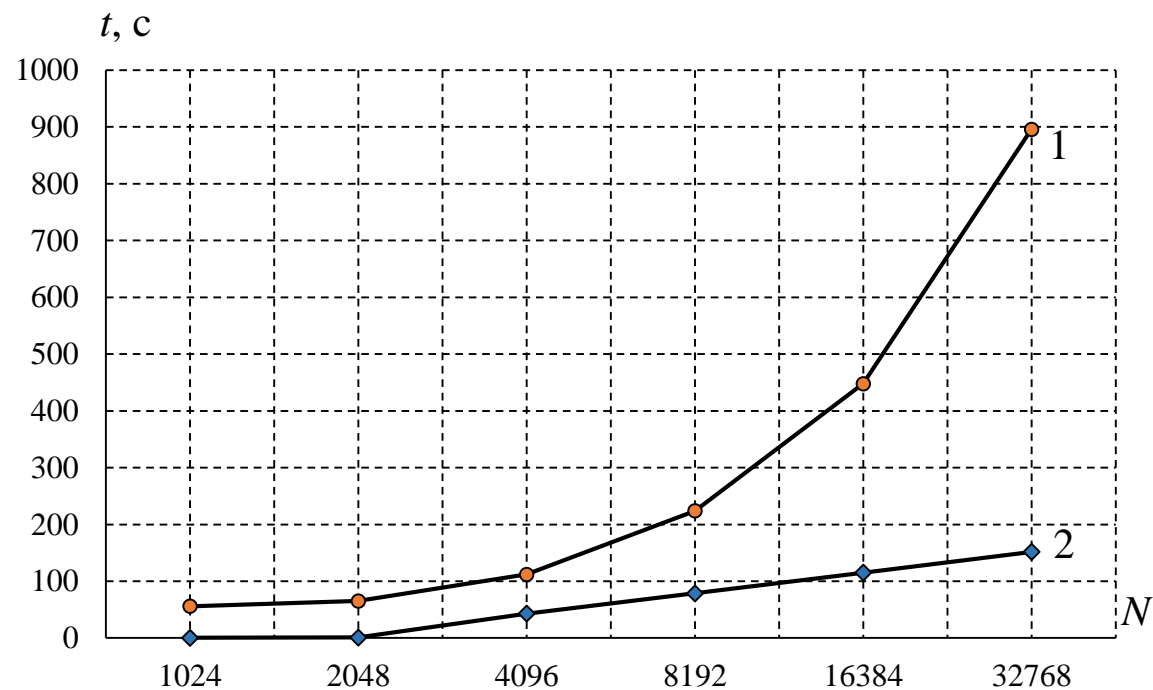
# Эксперименты (запись контрольной точки по протоколу NFS)



Зависимость времени  $t$  выполнения параллельной программы от размера  $N$  расчетной области на кластере Oak (32 процесса – 4 вычислительных узла)

1 – время выполнения параллельной программы с формированием контрольной точки

2 – время выполнения исходной параллельной программы

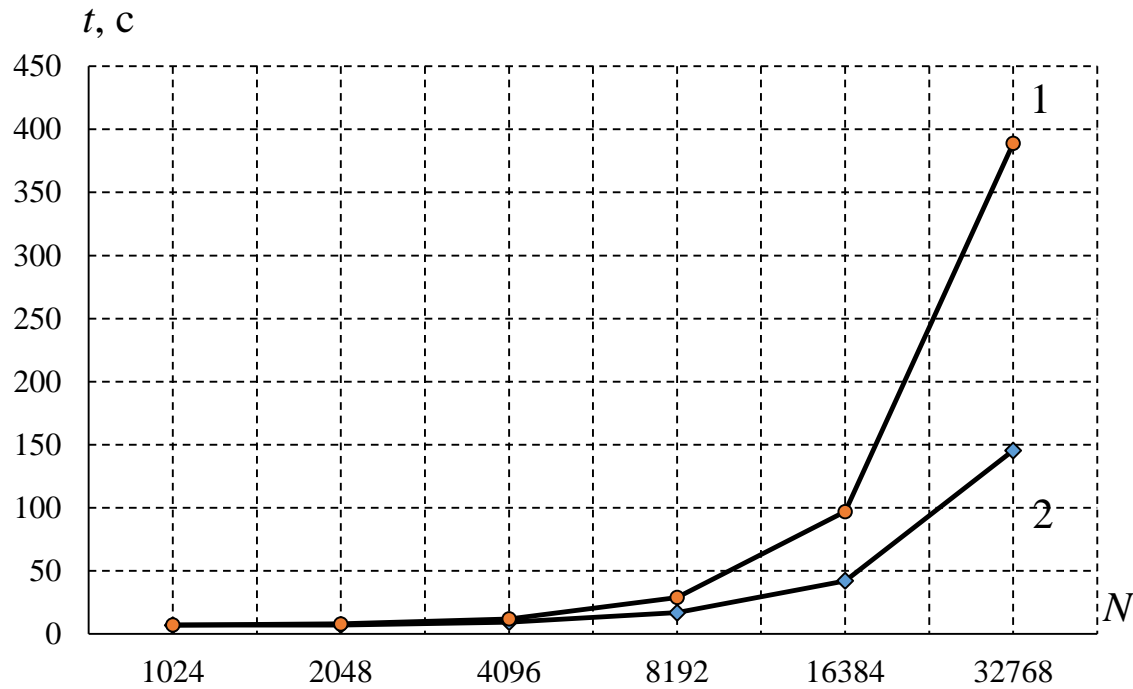


Зависимость времени  $t$  выполнения параллельной программы от размера  $N$  расчетной области на кластере Jet (128 процессов – 16 вычислительных узлов)

1 – время выполнения параллельной программы с формированием контрольной точки

2 – время выполнения исходной параллельной программы

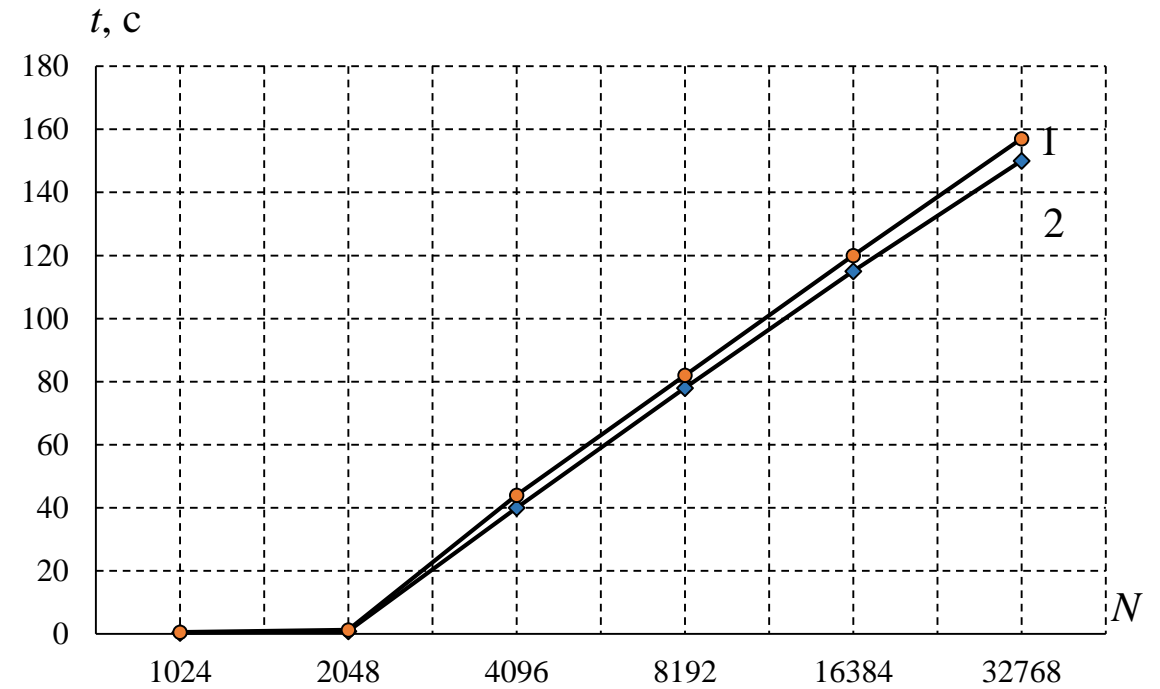
# Эксперименты (запись контрольной точки в каталог /tmp/)



Зависимость времени  $t$  выполнения параллельной программы от размера  $N$  расчетной области на кластере Oak (32 процесса – 4 вычислительных узла)

1 – время выполнения параллельной программы с формированием контрольной точки

2 – время выполнения исходной параллельной программы



Зависимость времени  $t$  выполнения параллельной программы от размера  $N$  расчетной области на кластере Jet (128 процессов – 16 вычислительных узлов)

1 – время выполнения параллельной программы с формированием контрольной точки

2 – время выполнения исходной параллельной программы

# Заключение

- ❑ Накладные расходы на формирование контрольных точек зависят от размера входных данных
- ❑ Направление дальнейшей работы – разработка алгоритма, оптимизирующего накладные расходы на формирование и сохранение контрольных точек

**Спасибо за внимание!**

# Исходный код тестовой программы

```
int main(int argc, char *argv[])
{
    /* Block Initialize */
    /* Save checkpoint function */
    for (;;) {
        /* Update interior points */
        for (int i = 1; i <= ny; i++) {
            for (int j = 1; j <= nx; j++) {
                local_newgrid[IND(i, j)] =
                    (local_grid[IND(i - 1, j)] +
                     local_grid[IND(i + 1, j)] +
                     local_grid[IND(i, j - 1)] +
                     local_grid[IND(i, j + 1)]) * 0.25;
            }
        }
        /* Check termination condition */
        for (int i = 1; i <= ny; i++) {
            for (int j = 1; j <= nx; j++) {
                maxdiff = fmax(args);
            }
        }
        /* Exchange shadow points with neighbors */
        MPI_Irecv(args);
        MPI_Isend(arg);
        /* Save checkpoint function */
        /* In simulation case:
         * call -> MPI_Abort(MPI_COMM_WORLD, EXIT_FAILURE);
         */
    }
    /* Save checkpoint function */
    /* Block show result */
}
```